

А. Ф. АЛЕКСАНДРОВ, С. А. РЕШЕТНЯК

## К ТЕОРИИ СИЛЬНОТОЧНЫХ РАЗРЯДОВ С ОБРАТНЫМ ТОКОМ

Проанализирована область существования сильноточного самосжатого разряда с обратным током в оптически непрозрачной и оптически «серой» (полупрозрачной) плазме и найдена связь основных параметров плазмы с внешними параметрами — полным числом частиц в разряде и силой разрядного тока. На основе полученных соотношений проведен количественный анализ применительно к типичным условиям эксперимента.

Экспериментальные исследования линейных самосжатых разрядов в плотной плазме, проведенные в последнее время (например [1—6]), показали высокую излучательную способность таких разрядов и убедительно подтвердили правильность развитой для них теории [1, 2, 7—10]. Эти исследования показали, в частности, что в полном соответствии с теорией линейные разряды в оптически прозрачной или «серой» плазме подвержены силовым неустойчивостям типа перетяжек и изгибов [4], а разряды в оптически прозрачной плазме — еще и перегревной неустойчивости [6].

Развитие неустойчивостей делает структуру разряда сильно неоднородной и вследствие этого ухудшает его качества как источника излучения, не говоря уже об резком уменьшении его времени жизни. В этой связи представляется актуальным дальнейший анализ так называемых обратных пинчей или разрядов с обратным током в оптически плотной плазме, обладающих гораздо большей устойчивостью, чем обычные линейные или прямые пинчи. Этот анализ должен в первую очередь касаться установления связи необходимых параметров разряда (температуры и характерных размеров плазмы) с внешними параметрами (исходное полное число частиц в разряде, сила разрядного тока), а также исследования разряда с обратным током в оптически «серой» или, точнее, полупрозрачной плазме и установления области его существования. В данной статье и излагаются некоторые результаты такого анализа.

### Исходные уравнения

Анализ разряда с обратным током в плотной плазме проведен на основе обычной системы уравнений магнитной гидродинамики с учетом потока излучения для полностью ионизированной идеальной плазмы

[7—9]. Нам интересуют в основном равновесные стационарные характеристики разряда. В силу того, что сведения об устойчивости рассматриваемых разрядов получаются тривиальным обобщением результатов анализа непрозрачного разряда ([7—9]), эту систему можно записать в цилиндрической системе координат в следующем виде:

$$\begin{aligned} \frac{1}{r} \frac{\partial}{\partial r} (rB) &= \frac{4\pi}{c^2} j = \frac{4\pi}{c} \sigma E, \\ \frac{\partial P}{\partial r} + \frac{1}{4\pi r} B \frac{\partial}{\partial r} (rB) &= 0, \\ P &= \frac{(1+z)k}{M} \rho T = (1+z)kNT; \quad \sigma = \frac{\alpha}{z} T^{3/2}, \\ \alpha &= 4 \cdot 10^7, \quad \sigma E^2 = \frac{j^2}{\sigma} = q_s(N, T), \end{aligned} \quad (1)$$

где соответствующие величины относятся к равновесному стационарному ( $v=0$ ) состоянию разряда. Здесь  $\sigma$  — проводимость плазмы,  $\rho$  — плотность,  $M$  — масса ионов, а  $z$  — их средний заряд, остальные обозначения общеприняты. Излучательную способность плазмы  $q_s$ , как и в [9], определим следующим образом:

$$q_s = \text{div } S_1 + \text{div } S_2,$$

где  $S_1$  — поток излучения длинноволновых квантов с частотами  $\nu < \nu_0$ , для которых среда полностью непрозрачна, а  $S_2$  — поток излучения коротковолновых квантов, для которых среда прозрачна. Граничная частота  $\nu_0$  выбирается, как и в [9], из условия равенства единице оптической толщины разряда  $\tau$ :

$$\tau = \kappa'_\nu(\nu_0) x_e, \quad (2)$$

где  $\kappa'_\nu(\nu_0)$  — спектральный коэффициент поглощения с учетом переизлучения, а  $x_e$  — равновесная толщина плазменного слоя.

Рассмотрим случай чисто тормозного поглощения и поглощения многократно ионизованными атомами. В первом случае можно записать точное выражение для  $\kappa'_\nu$  [11]:

$$\kappa'_\nu = \frac{4,1 \cdot 10^{-23} z^3 N^2}{T^{7/2}} \cdot \frac{1 - \exp(-x)}{x^3}; \quad \left(x = \frac{h\nu}{kT}\right), \quad (3)$$

При этом для  $S_1$  и  $S_2$  согласно [9] получим:

$$\begin{aligned} S_1 &= \int_0^{\nu_0} S_\nu d\nu = - \frac{4\pi}{3} \frac{kT}{h} \int_0^{x_0} \frac{\nabla I_{\nu e}}{\kappa'_\nu} dx = - \beta_0 \frac{T^{13/2} f(x_0)}{N^2 z^3} \nabla T, \\ \text{div } S_2 &= \frac{1}{r} \frac{\partial}{\partial r} (rS_2) = \int_{\nu_0}^{\infty} d\nu \int d\Omega \kappa'_\nu I_{\nu e} = \\ &= \gamma_0 N^2 \sqrt{T} z^3 \exp(-x_0), \\ I_{\nu e} &= \frac{2(kT)^3 x^3}{c^3 h^3 (\exp(x) - 1)}; \end{aligned} \quad (4)$$

$$f(x_0) = \int_0^{x_0} \frac{\exp(2x) x^2}{[\exp(x) - 1]^2} dx,$$

$$\beta_0 = 2,8 \cdot 10^{17}; \quad \gamma_0 = 1,4 \cdot 10^{-27}.$$

Для случая многократно ионизованных атомов выражение для  $\kappa_v$  имеет сложный вид [11], поэтому будем приближенно описывать зависимость  $\kappa_v$ . Для  $v < v_0$  мы будем пользоваться выражением

$$\kappa_v = \frac{2 \cdot 10^{-23} z (1+z)^2 N^2}{T^{7/2}} \frac{\exp(x) - 1}{x^3}, \quad (5)$$

$$(x < x_0),$$

которое получается для многократно ионизованных атомов в приближении Крамерса — Унзольда, а для  $v > v_0$  используем выражение для чисто тормозного поглощения (3), но с другим коэффициентом, определяемым требованием непрерывности  $\kappa_v$  при  $v = v_0$ . Тогда выражение (3) переписывается так:

$$\kappa_v = \frac{2 \cdot 10^{-23} \exp(-x_0) z (1+z)^2 N^2}{T^{7/2}} \frac{1 - \exp(-x)}{x^3}. \quad (6)$$

Использовать выражение (5) и в области  $x > x_0$ , как легко видеть, нельзя, так как при этом выражение для  $\text{div } S_2$  расходится. С помощью выражений (5) и (6) нетрудно получить

$$S_1 = - \frac{\beta_1 T^{13/2} f_1(x_0)}{N^2 z (1+z)^2} \nabla T;$$

$$f_1 = \int_0^{x_0} \frac{x^2 \exp(x)}{[\exp(x) - 1]^2} dx, \quad (7)$$

$$\text{div } S_2 = \gamma_1 N^2 \sqrt{T} z (1+z)^2, \quad \beta_1 = 6,15 \cdot 10^{17},$$

$$\gamma = 7 \cdot 10^{-28}.$$

### Равновесие разряда с обратным током в оптически непрозрачной плазме

Рассмотрим сначала некоторые характерные особенности обратного пинча в оптически непрозрачной плазме. Предел непрозрачного разряда соответствует  $v_0 \rightarrow \infty$  и  $S_2 \rightarrow 0$ . Такой разряд рассмотрен в [7], где получены общие выражения для распределения основных величин в разряде. Нетрудно показать, что в случае квазиплоского разряда ( $r = R_0 + x$ ,  $|x| \ll R_0$ , где  $R_0$  — средний радиус плазменной оболочки (см. рис.)) все характеризующие разряд величины могут быть достаточно просто выражены через величину полного разрядного тока  $I$ , полного числа частиц на единицу длины разряда  $N_n$  и радиус  $R_0$ . Именно

$$B(x) = \frac{4\pi}{c} \sigma E = \sqrt{8\pi P(0)} \frac{x}{x_e},$$

$$P(x) = P(0) \left(1 - \frac{x^2}{x_e^2}\right), \quad \rho(x) = \rho(0) \left(1 - \frac{x^2}{x_e^2}\right). \quad (8)$$

а температура практически однородна т. е.

$$T(x) = T(0) = \frac{I^2}{3(1+z)kc^2N_n} \frac{x_e}{R_0} \quad (9)$$

Здесь  $P(0)$ ,  $\rho(0)$  и  $N(0)$  — значения соответствующих величин в центре плазменного слоя, т. е. при  $r=R_0$  или  $x=0$ .

Далее

$$T(0) = \frac{1}{(8\pi^2 3kc^2 \alpha\sigma^*)^{2/13}} \left[ \frac{z}{(1+z)N_n} \right]^{2/13} \frac{I^{8/13}}{R_0^{6/13}} \approx$$

$$\approx 2 \cdot 10^{-2} \left( \frac{z}{1+z} \right)^{2/13} \frac{I^{8/13}}{N_n^{2/13} R_0^{6/13}} \quad (10)$$

$$x_e = \left( \frac{z}{8\pi^2 \alpha\sigma^*} \right)^{2/13} [3(1+z)kc^2 N_n]^{11/13} \frac{R_0^{7/13}}{I^{18/13}} \approx$$

$$\approx 7,9 \cdot 10^3 \frac{z^{2/13} (1+z)^{11/13} R_0^{7/13} N_n^{11/13}}{I^{18/13}} \quad (11)$$

$$N(0) = \frac{(6\alpha\sigma^*)^{2/13} N_n^{2/13}}{[8kc^2(1+z)]^{11/13} \pi^{9/13} z^{2/13}} \frac{I^{18/13}}{R_0^{20/13}} \approx$$

$$\approx 1,5 \cdot 10^{-5} \frac{I^{18/13} N_n^{2/13}}{z^{2/13} (1+z)^{11/13} R_0^{20/13}} \quad (12)$$

где  $\sigma^*$  — постоянная Стефана — Больцмана.

Для удобства дальнейшего изложения мы ввели индекс нуль для обозначения соответствующих величин в непрозрачном разряде. При получении этих выражений считаем, что излучение выходит только с внешней поверхности плазменной оболочки, а не с обеих поверхностей, как указано в [7], поскольку на эксперименте либо совсем не поглощается излучение внутри плазменной полости, либо сам разряд помещается внутрь цилиндрического отражателя. Случай, при котором излучение уходит с обеих поверхностей, получается путем простой замены в формулах постоянной  $\sigma^*$  на  $2\sigma^*$ .

Отметим далее, что из требования  $x_e \ll R_0$  автоматически следует классическое соотношение для токов в стационарном равновесном обратном пинче  $2I_0 = I$ .

Область применимости соотношений (8) — (12) определяется, с одной стороны, требованием малости расселандова пробега по сравнению с толщиной слоя плазмы  $l_R \ll x_e$ , а с другой — требованием малости характерного размера изменения плотности плазмы по сравнению с характерным масштабом неоднородности температуры  $x_e^2 \ll x_T^2$ . Эти требования накладывают следующие ограничения на силу разрядного тока:

$$1,1 \cdot 10^{-31} \Phi > I > 6 \cdot 10^{-33} \Phi,$$

$$4,6 \cdot 10^{-30} \Phi_1 > I > 2,9 \cdot 10^{-31} \Phi_1, \quad (13)$$

где

$$\Phi = \frac{z^3}{(1+z)^{4/10}} \frac{N_n^{22/10}}{R_0^{12/10}},$$

$$\Phi_1 = z^{4/10} (1+z)^{22/10} \frac{N_n^{22/10}}{R_0^{12/10}} \quad (14)$$

( $\Phi$ —для тормозного поглощения и  $\Phi_1$ —поглощения многократно ионизованными атомами). При нарушении левого неравенства плазма в разряде становится оптически прозрачной, а при нарушении правого температура в разряде должна стать столь же неоднородной, как и плотность. Наконец, для того, чтобы разряд стал квазиплоским, т. е. для того, чтобы выполнялось неравенство  $R_0 \gg x_e$ , полный разрядный ток должен быть достаточно большим:

$$I > 1,5 \cdot 10^2 \frac{z^{2/18} (1+z)^{11/18} N_n^{11/18}}{R_0^{6/18}}$$

Приведенные соотношения показывают, что разряд с обратным током существенно отличается от обычного линейного пинча. Это отличие заключается в более слабой зависимости температуры и характерной толщины разряда от внешних параметров — силы разрядного тока и полного числа частиц в разряде. Как следует из (9) и (11), в разряде с обратным током

$$T \sim I^{18/13} N_n^{-2/13} \text{ и } x_e \sim N_n^{11/13} I^{-18/13},$$

в то время как в линейном пинче

$$T \sim I^2 N_n^{-1} \text{ и } r_e \sim I^{-3} N_n^{11/6}.$$

Кроме того, параметры разряда с обратным током существеннейшим образом зависят от его радиуса  $R_0$ . Интересно заметить, что переход от непрозрачного к прозрачному разряду происходит при увеличении полного тока, а переход к разряду с сильно неоднородной температурой — при уменьшении разрядного тока, в то время как в линейном пинче дело обстоит как раз наоборот. Такое поведение разряда объясняется зависимостью оптической толщины разряда от силы разрядного тока. Действительно, в разряде с обратным током  $\tau \sim x_e / l_R \sim I^{-10/13}$ , т. е. падает с увеличением  $I$ , в то время как в линейном пинче  $\tau \sim I^2$ , т. е. сильно растет с ростом силы разрядного тока. Более слабая по сравнению с Z-пинчем зависимость  $\tau$  от  $I$  объясняет также значительное расширение области применимости (13) выражений (10) — (12).

#### Равновесие разряда с обратным током в оптической полупрозрачной плазме

Рассмотрим более общий случай оптически серой плазмы. Анализ разряда с обратным током в оптически серой плазме проводится совершенно аналогично тому, как это сделано в [9] для случая линейного пинча. Так, при условии однородности температуры в разряде из первых двух уравнений системы (1) легко находится распределение давления, плотности и магнитного поля, которое полностью совпадает с (8).

Распределение температуры по оси разряда получается подстановкой распределений (8) и выражений (4) или (7) для случаев тормозного излучения или излучения многократно ионизованными атомами в уравнение баланса энергии системы (1). При этом получаем

$$T_0(x) = T_0(0) \left[ 1 + \frac{B}{2C} \frac{x^2}{x_e^2} \left( 1 - \frac{4}{3} \frac{x^2}{x_e^2} + \frac{38}{45} \frac{x^4}{x_e^4} - \frac{1}{6} \frac{x^6}{x_e^6} + \frac{11}{25} \frac{x^8}{x_e^8} \right) - \frac{A}{2C} \frac{x^2}{x_e^2} \left( 1 - \frac{x^2}{x_e^2} + \frac{1}{3} \frac{x^4}{x_e^4} \right) \right],$$

где

$$A = \sigma(0) E^2 = \frac{P(0) c^2}{2\pi \sigma x_e^2},$$

$$B = \gamma_0 N_m^2 \sqrt{T(0)} z^3 \exp(-x_0),$$

$$C = \frac{\beta_0 T(0)^{15/2} f_1(x_0)}{z^3 N_m^2 x_e^2} = \frac{\beta_0 T^{15/2} f(x_0) R_0^2}{z^3 N_n^2} \left( \frac{8\pi}{3} \right)^2$$

для случая тормозного механизма излучения. Для случая излучения многократно ионизованными атомами в этих формулах следует заметить  $\beta_0$  и  $\gamma_0$  на  $\beta_1$  и  $\gamma_1$ . Отсюда следует условие применимости использованного приближения однородности температуры:

$$A \ll 2C; \quad B \ll 2C. \quad (15)$$

Толщина плазменного слоя определяется как обычно из условия баланса энергии на поверхности разряда:

$$S(r_e) = \frac{j_0^2}{\sigma_0} 2x_e. \quad (16)$$

Поток  $S(r_e)$  с внешней поверхности плазменного слоя вычисляется из уравнения переноса излучения при требовании зеркального отражения на внутренней поверхности. Расчет, аналогичный проведенному в [9] и [11], дает

$$S(r_2) = \sigma^* T_0^4(0) \xi_1(x_0),$$

$$\xi_1(x_0) = \frac{32}{\pi^4} \frac{x_0^3}{\exp(x_0) - 1} + \frac{15}{\pi^4} \int_0^{x_0} \frac{x^3 dx}{\exp(x) - 1} \quad (17)$$

для случаев тормозного механизма излучения и излучения многократно ионизованными атомами. Тогда из (16) с учетом (17) и выражения для температуры (9) находим

$$x_e = \frac{x_{e0}}{[\xi_1(x_0)]^{2/3}},$$

$$T(0) = \frac{T_0(0)}{[\xi_1(x_0)]^{2/13}}$$

и далее

$$N(0) = N_0'(0) [\xi_1(x_0)]^{2/13}.$$

Наконец, чтобы полностью определить все величины, нужно найти  $x_0$  из уравнения (8), которое может быть записано в виде

$$1,25 (\delta \xi_1)^{13/10} \left( \frac{1 - \exp(-x_0)}{x_0^3} \right)^{13/10} \Phi = I, \quad (18)$$

где  $\delta$  — численный множитель в выражениях для коэффициента поглощения, равный  $\delta_0 = 4,1 \cdot 10^{-23}$  для тормозного поглощения и  $\delta_1 = 2 \cdot 10^{-23}$  для поглощения многократно ионизованными атомами (см. (3) и (5)), а  $\Phi(z, R_0, N_n)$  определяется формулой (14). Это уравнение легко решается графически.

Проанализируем область применимости полученных выражений. Так же, как и в случае нелинейного пинча в серой плазме [9], эта область определяется неравенствами (15), обеспечивающими однородность температуры в разряде. Рассмотрим случай тормозного поглощения. При этом первое неравенство (15) может быть записано следующим образом:

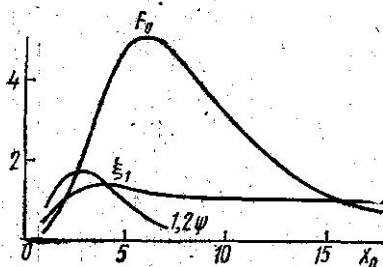
$$\xi_1(x_0) \ll \frac{4\beta_0\delta_0}{\alpha^*} \frac{1 - \exp(-x_0)}{x_0^3} f(x_0) = F_0(x_0) \simeq 0,81 \frac{1 - \exp(-x_0)}{x_0^3} f(x_0).$$

Графики функций  $\xi_1(x_0)$  и  $F_0(x_0)$  представлены на рис. Видно, что это неравенство выполняется при значениях  $x_0$ , удовлетворяющих неравенству

$$2,5 \simeq x_{0 \min} < x_0 < x_{0 \max} \simeq 15,5.$$

Второе неравенство (15) принимает вид

$$1,2 \Psi(x_0) \ll F_0(x_0)$$



и, как видно из рис., не накладывает новых ограничений на область возможных значений  $x_0$ . Подставляя найденные значения  $x_{0 \min}$  и  $x_{0 \max}$  в уравнение (18), найдем область изменения силы разрядного тока в сером разряде

$$1,9 \cdot 10^{-31} \Phi > I > 6 \cdot 10^{-34} \Phi. \quad (19)$$

Сравнивая неравенство (19) и первое из неравенств (13), видим, что в сером разряде верхняя граница силы разрядного тока увеличилась примерно в пять раз, т. е. несколько больше, чем это было в линейном пинче. Однако коэффициент преобразования излучения вблизи границы прозрачности увеличился в сером разряде с обратным током по сравнению с непрозрачным всего в  $[\xi_1(x_{0 \min})]^{-1} \simeq 1,1$ .

Нетрудно показать, что в случае излучения многократно ионизованными атомами в сером разряде верхняя граница разрядного тока также увеличивается примерно в пять раз при слабом увеличении коэффициента преобразования излучения.

### Обсуждение полученных результатов

Как следует из приведенного анализа разряда с обратным током, зависимость его характеристик от внешних параметров существенно иная, чем в линейном Z-пинче. Это в первую очередь касается предельных токов, величина которых существенно зависит от числа частиц в разряде и радиуса обратного пинча в отличие от линейных разрядов, в которых предельные токи являются универсальными константами, зависящими лишь от характера излучения. При этом в противоположность линейному разряду обратный непрозрачный, или серый пинч реализует-

ся при токах, меньших максимального предельного значения. Кроме того, для разряда с обратным током характерна более слабая зависимость характеризующих его величин ( $T_0$ ,  $x_e$ ,  $N_0$ ) от силы разрядного тока  $I$  и полного числа частиц в разряде. Эти особенности предьявляют достаточно высокие требования к характеристикам экспериментальных установок для создания непрозрачного либо оптически серого разряда с обратным током.

Сделаем некоторые оценки. Будем исходить из необходимости создания обратного пинча с  $R_0=10$  см и температурой излучающей поверхности  $T=2 \cdot 10^4$  К. Для того чтобы температура в разряде была однородной и можно было считать  $T \simeq T_0$ , ток  $I$  должен быть достаточно большим. Предположим, что  $I=10^6$ ,  $A=3 \cdot 10^{15}$  CGSE, что легко достижимо на современных генераторах импульсных токов, в частности, на описанной в [12] экспериментальной установке. Теперь для заданных  $I$ ,  $R_0$  и  $T$  можно определить из (10) необходимое число частиц в разряде, полагая  $z \simeq 1$ , что дает  $N_{\Pi} \simeq 10^{20}$  см $^{-1}$ . Подставляя, далее, полученное значение  $N_{\Pi}$  в соотношения (13) и (14), легко убеждаемся, что для случая многократной ионизации выбранное значение  $I$  соответствует предельному току непрозрачного разряда. Заметим, что величина  $N_{\Pi}=10^{20}$  см $^{-1}$  может быть получена при испарении, например, серебряной фольги толщиной  $\sim 10^{-4}$  см. Технологически осуществить взрыв в вакууме столь тонкой фольги достаточно трудно, поэтому более удобно, по-видимому, создавать необходимый коаксиальный слой рабочего вещества либо взрывом нескольких проволок, либо инъекцией в вакуум паров или порошка рабочего вещества, как это сделано, например, в [13]. Увеличивать же  $N_{\Pi}$  нецелесообразно, поскольку при этом для достижения прежнего значения температуры  $T_0$  придется увеличивать  $I$  и, кроме того, поскольку при этом режим разряда будет смещаться в сторону нижнего предельного тока, т. е. в сторону увеличения неоднородности температуры в разряде.

В заключение укажем, что анализ устойчивости серого разряда с обратным током проводится аналогично анализу устойчивости линейного серого разряда [9] и показывает, что серый разряд обладает такой же устойчивостью, как и непрозрачный. А это означает, что он подвержен развитию только силовых неустойчивостей, среди которых наиболее опасная длинноволновая мода перетяжечной неустойчивости имеет инкремент  $\gamma^{-1} \sim R_0/v_s$ , где  $v_s$  — скорость звука. При указанных выше параметрах время жизни обратного разряда составит около 50 мкс.

## ЛИТЕРАТУРА

1. Александров А. Ф., Рухадзе А. А. — «Успехи физических наук», 105, вып. 4, 1971.
2. Александров А. Ф., Зосимов В. В. и др. Препринт, ФИАН, № 72, 1971.
3. Александров А. Ф., Зосимов В. В., Рухадзе А. А., Савоскин В. И., Тимофеев И. Б. — III Всесоюзная конференция по физике низкотемпературной плазмы. Краткое содержание докладов. М., 1971.
4. Александров А. Ф., Зосимов В. В., Тимофеев И. Б. — В кн.: Краткие сообщения по физике, 1972, № 2, с. 25.
5. Клементов А. Д., Михайлов Г. В. и др. — «Теплофизика высоких температур», 8, № 4, 736, 1970.
6. Николаев Ф. А., Розанов В. Б., Свириденко Ю. П. — В кн.: Краткие сообщения по физике, 1971, № 4, с. 59.
7. Рухадзе А. А., Триггер С. А. — «Прикладная математика и физика», № 3, 11, 1968.



8. Рухадзе А. А., Розанов В. Б., Тригер С. А. — «Прикладная математика и теоретическая физика», № 5, 18, 1968.
9. Александров А. Ф., Каминская Е. П., Рухадзе А. А. «Прикладная математика и теоретическая физика», № 1, 33, 1971.
10. Александров А. Ф., Решетняк С. А. — «Прикладная математика и теоретическая физика» № 2, 21, 1973.
11. Пустовалов В. В., Розанов В. Б. Препринт, ФИАН, № 52, 1969.

Поступила в редакцию  
24.7. 1974 г.

Кафедра  
электроники